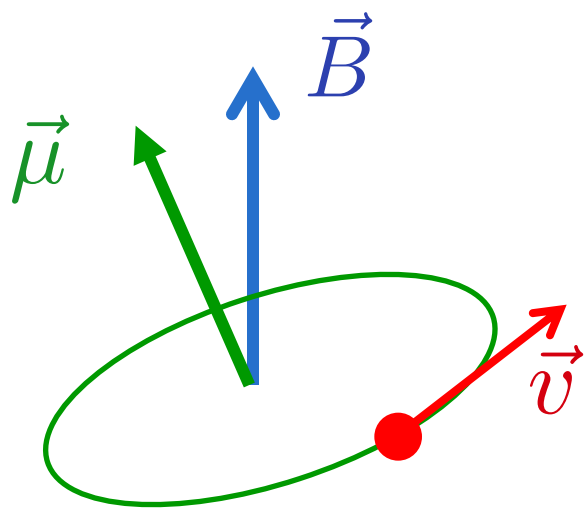


Aula 5

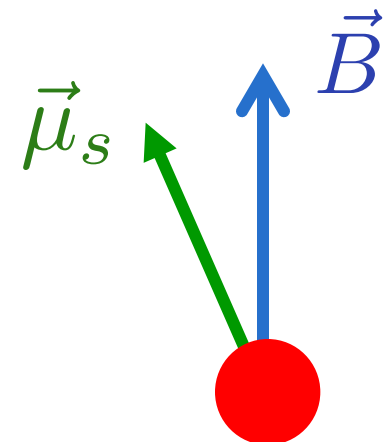
Efeito Zeeman

Interação Spin - Órbita

Momento Angular Total



$$\vec{B} = B_z \hat{k}$$



$$U = -\vec{\mu} \cdot \vec{B}$$

Carga positiva

$$U = -g_l \mu_b m_l B_z$$

$$U = -g_s \mu_b m_s B_z$$

Carga negativa

$$U = +g_l \mu_b m_l B_z$$

$$U = +g_s \mu_b m_s B_z$$

Efeito Zeeman



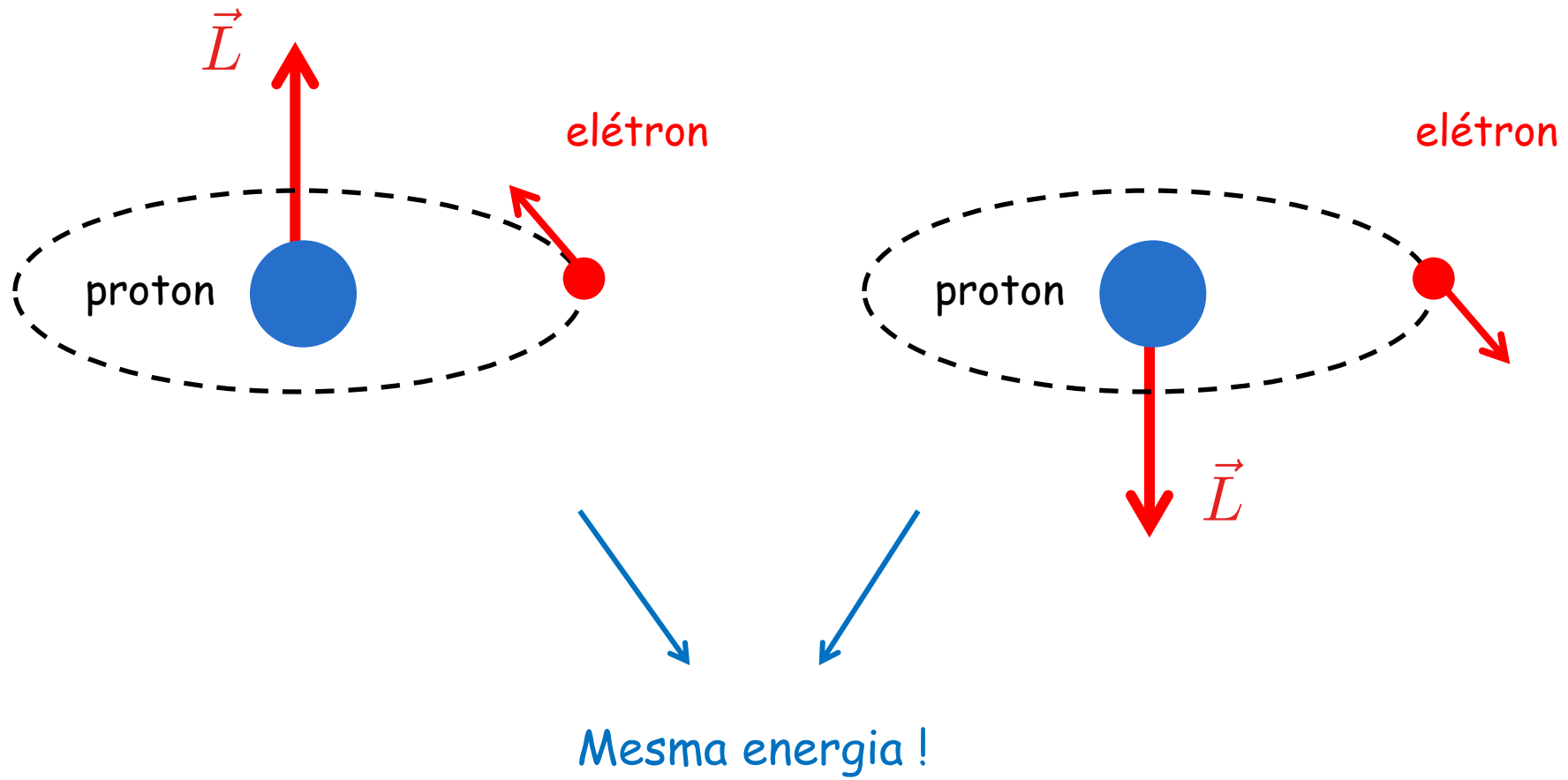
Medida do desdobramento das linhas do sódio

1896

Pieter Zeeman
(1865 - 1943)

Prêmio Nobel de Física em 1902

Efeito Zeeman Normal



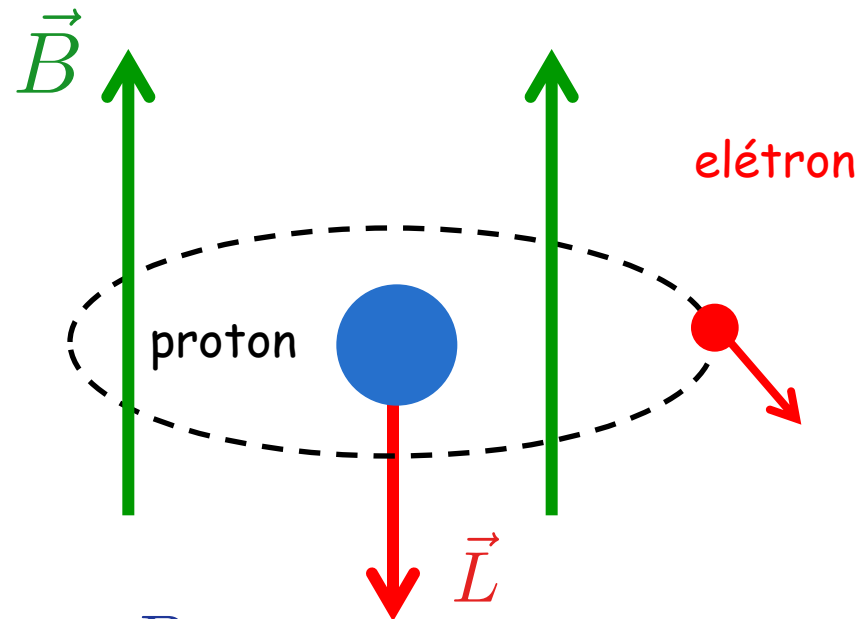
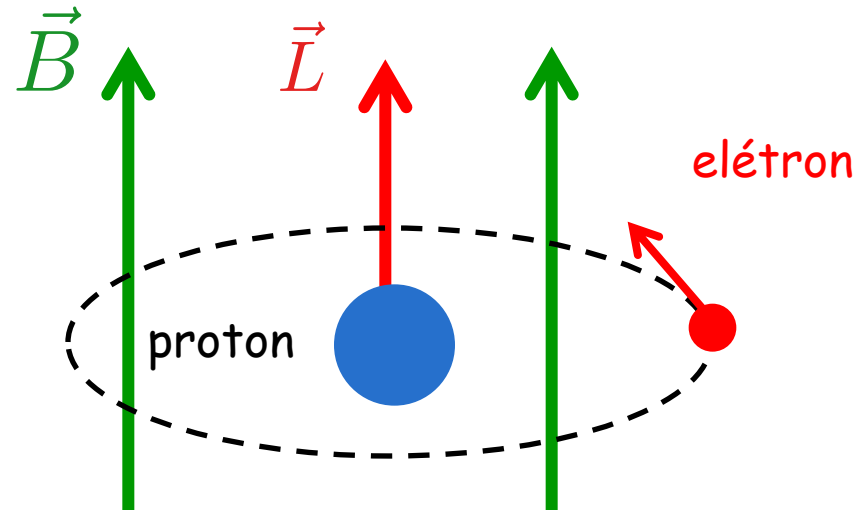
Estado $n = 2$



$$E = - \frac{m}{2} \left(\frac{Z e^2}{4 \pi \epsilon_0 \hbar} \right)^2 \frac{1}{n^2} = E_2$$

($n = 1$ só com $L=0$)

Efeito Zeeman Normal



$$U = +g_l \mu_b m_l B_z$$

$$m_l = +1$$

$$m_l = -1$$

$$E_2^+ = E_2 + U$$

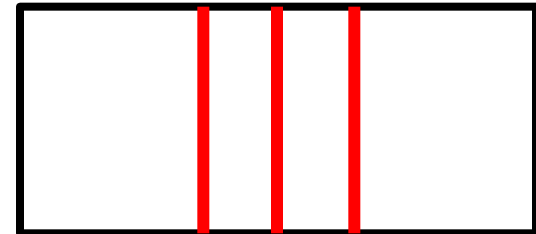
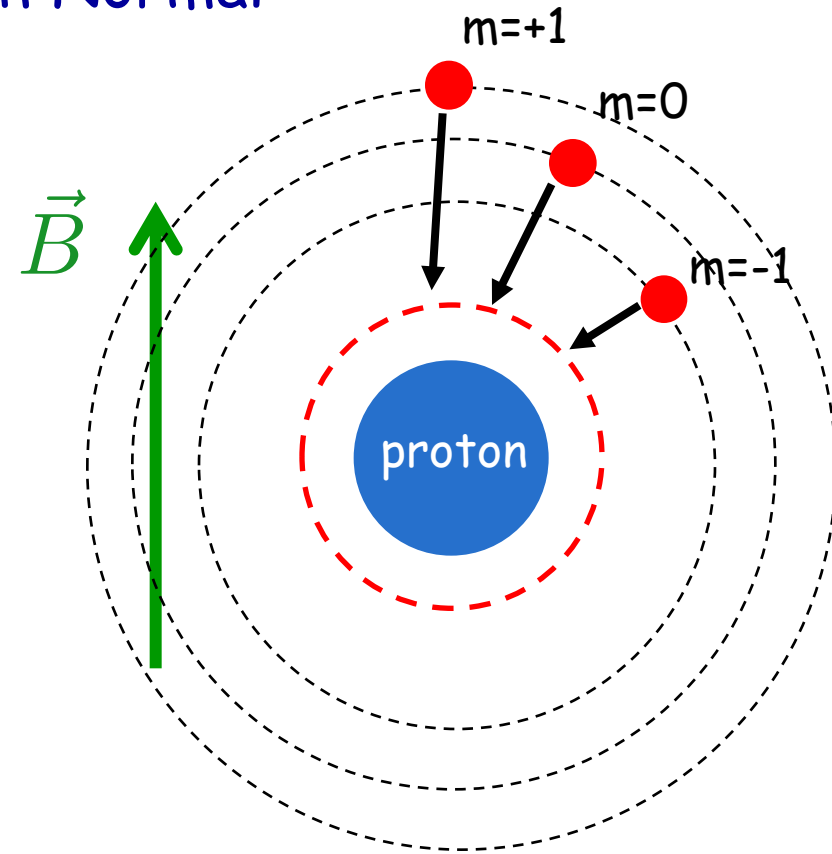
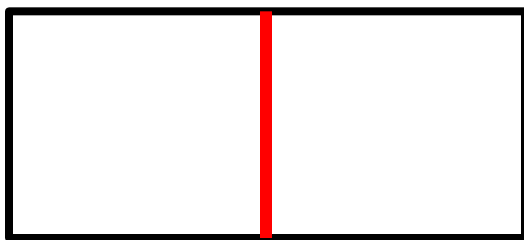
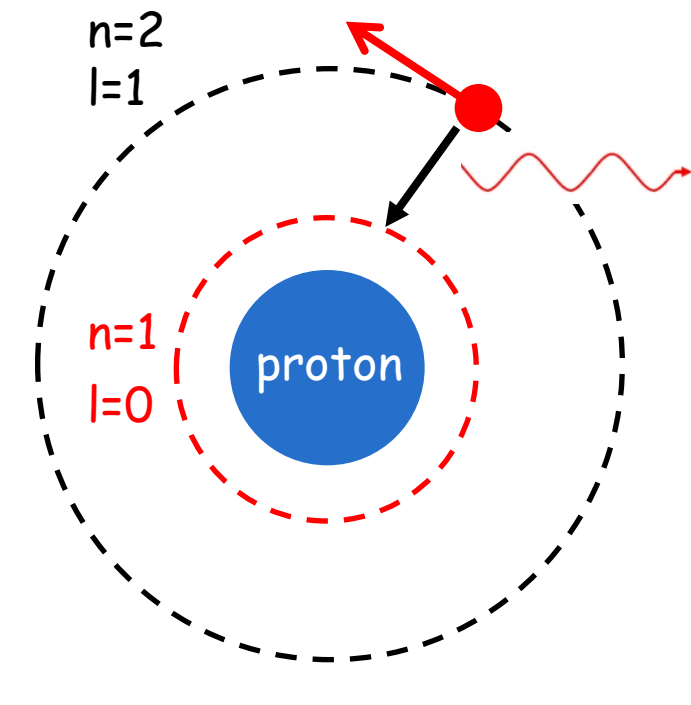
$$E_2^- = E_2 + U$$

$$E_2^+ = E_2 + g_l \mu_b B_z$$

$$E_2^- = E_2 - g_l \mu_b B_z$$

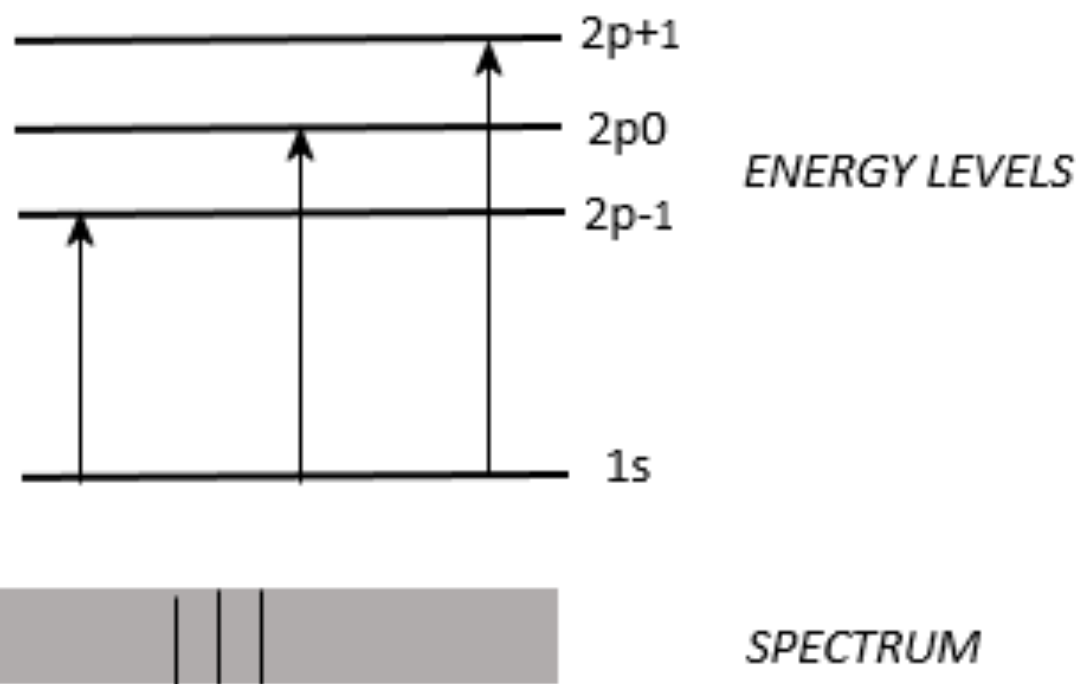
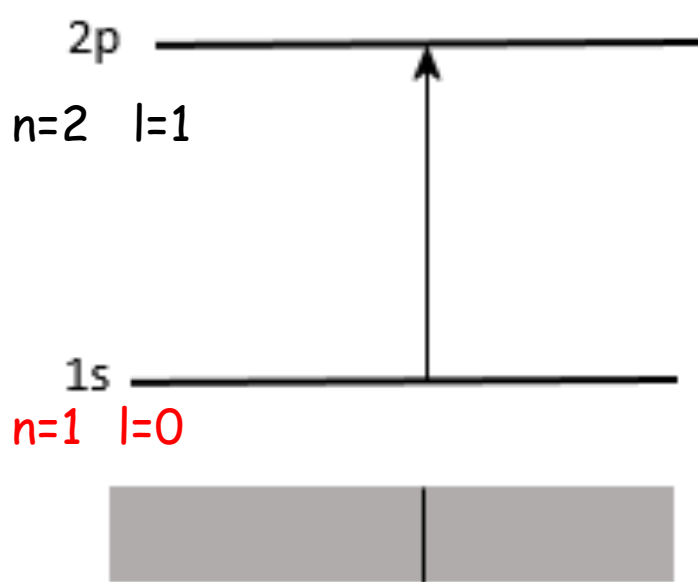
Temos também $E_2^0 = E_2$ quando $m_l = 0$

Efeito Zeeman Normal



Desdobramento das linhas espectrais !

THE ZEEMAN EFFECT



NO MAGNETIC FIELD

NONZERO MAGNETIC FIELD

SPECTRUM

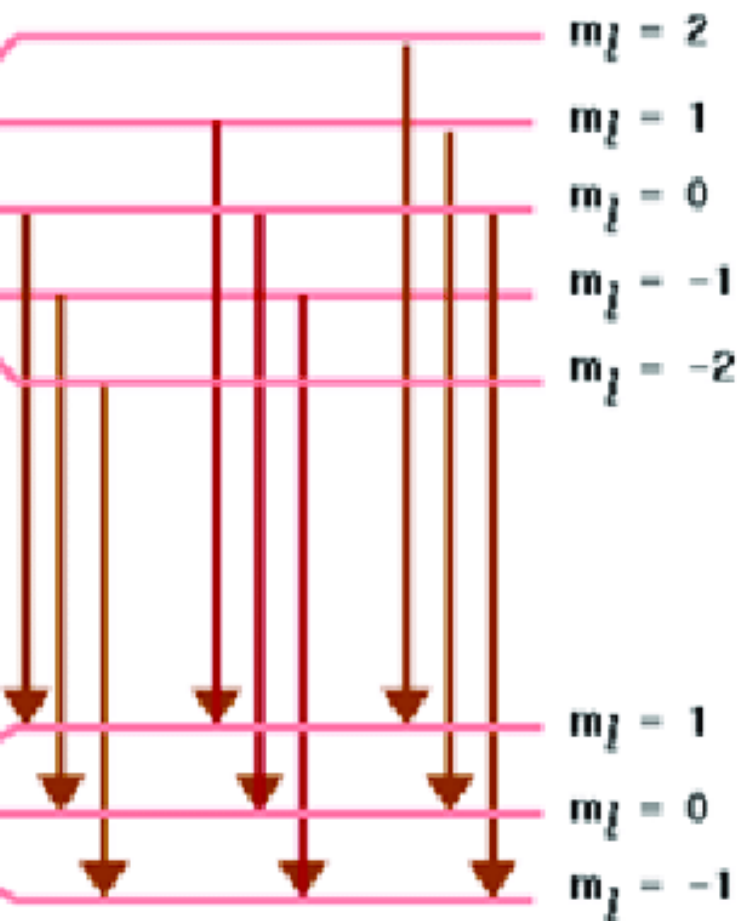
No Magnetic Field

$l = 2$

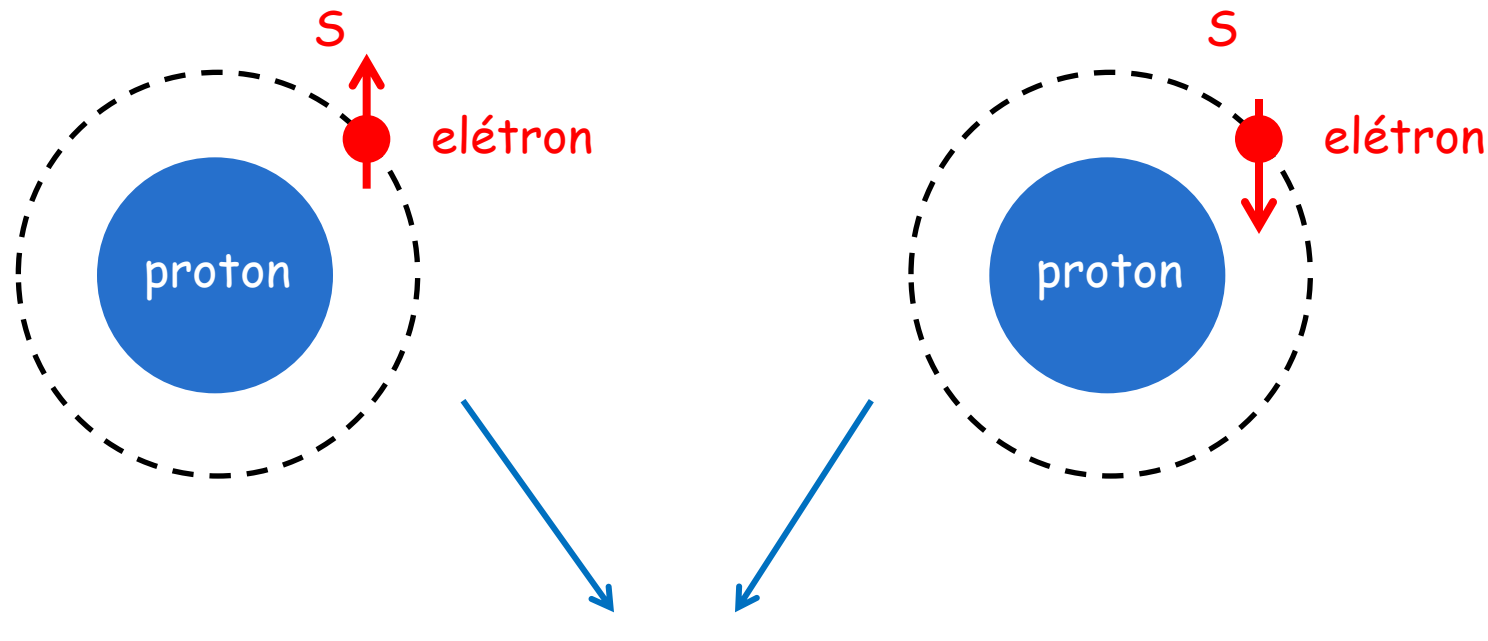
$\hbar\nu$

$l = 1$

Magnetic Field present



Efeito Zeeman Anômalo

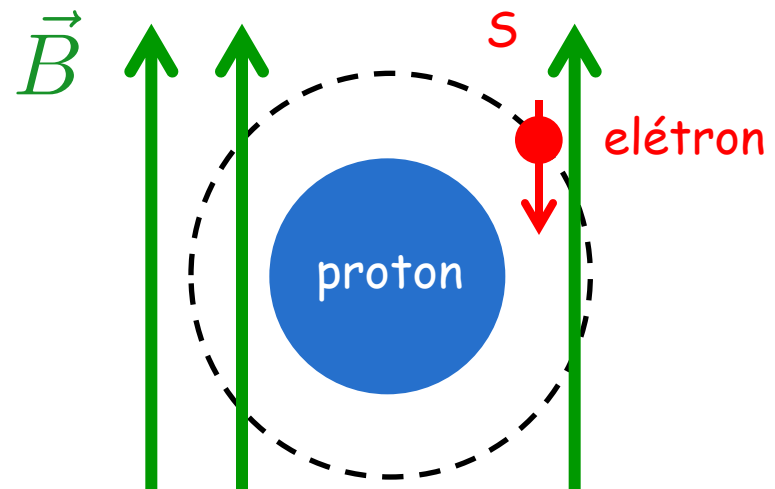
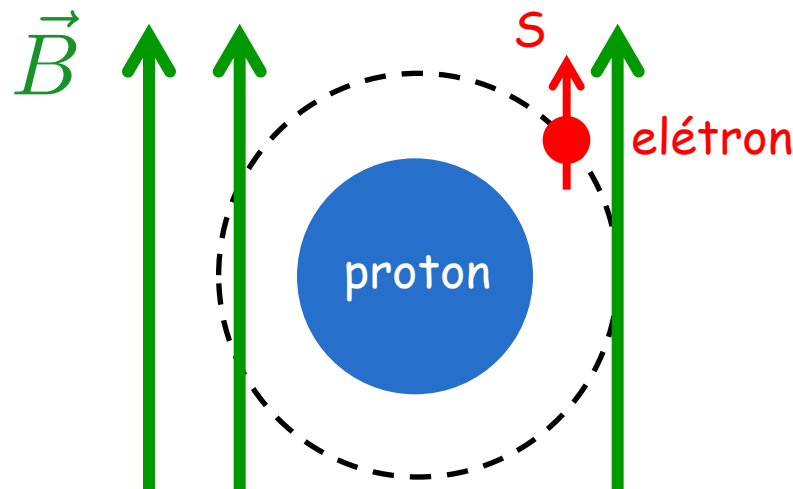


Mesma energia !

Estado fundamental
 $n = 1$

$$\rightarrow E = -\frac{m}{2} \left(\frac{Z e^2}{4 \pi \epsilon_0 \hbar} \right)^2 \frac{1}{n^2} = E_1$$

Efeito Zeeman Anômalo

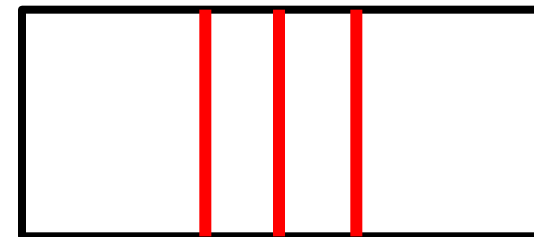
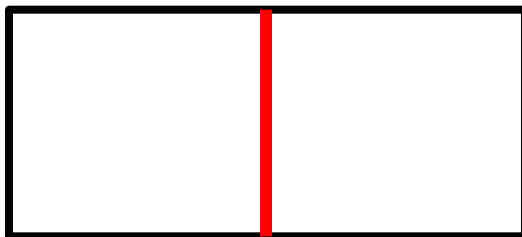
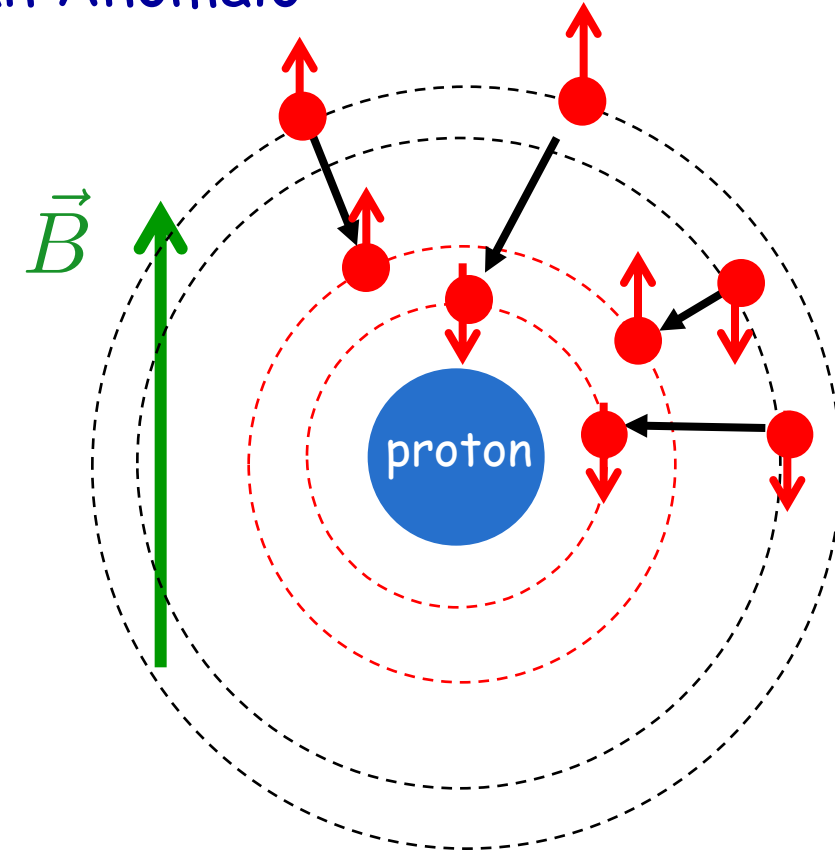
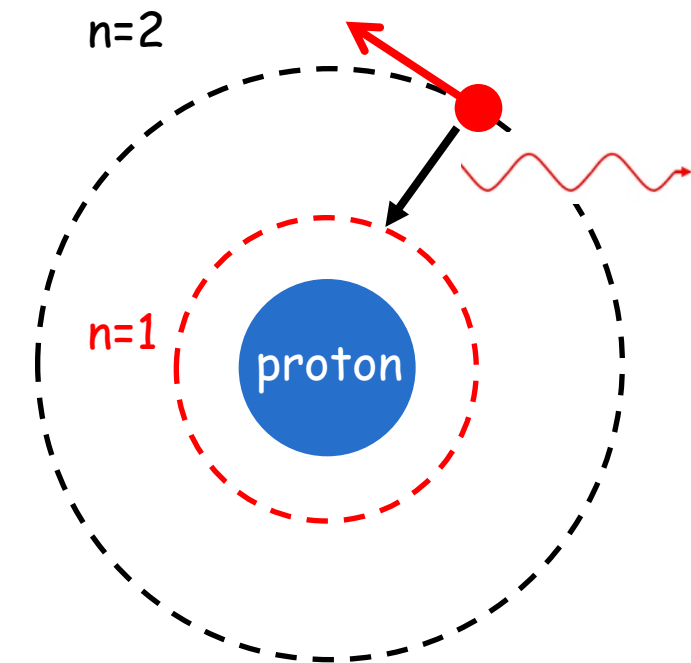


$$U = + g_s \mu_b m_s B_z$$

$$E_1^+ = E_1 + \frac{1}{2} g_s \mu_b B_z$$

$$E_1^- = E_1 - \frac{1}{2} g_s \mu_b B_z$$

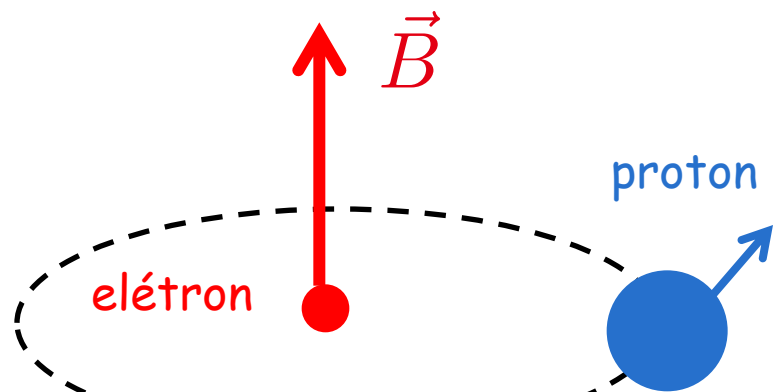
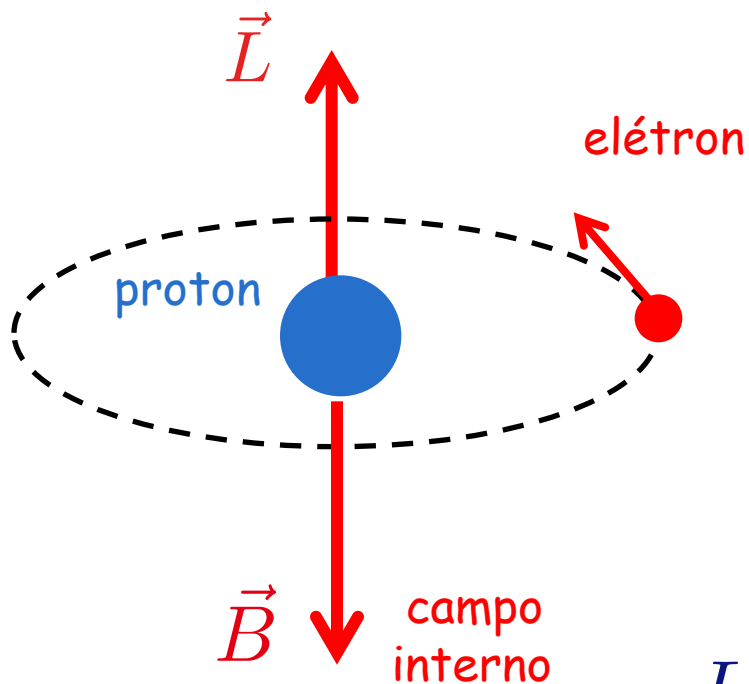
Efeito Zeeman Anômalo



Desdobramento das linhas espectrais !

Interação spin-órbita

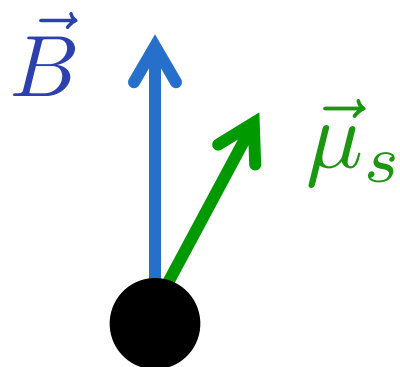
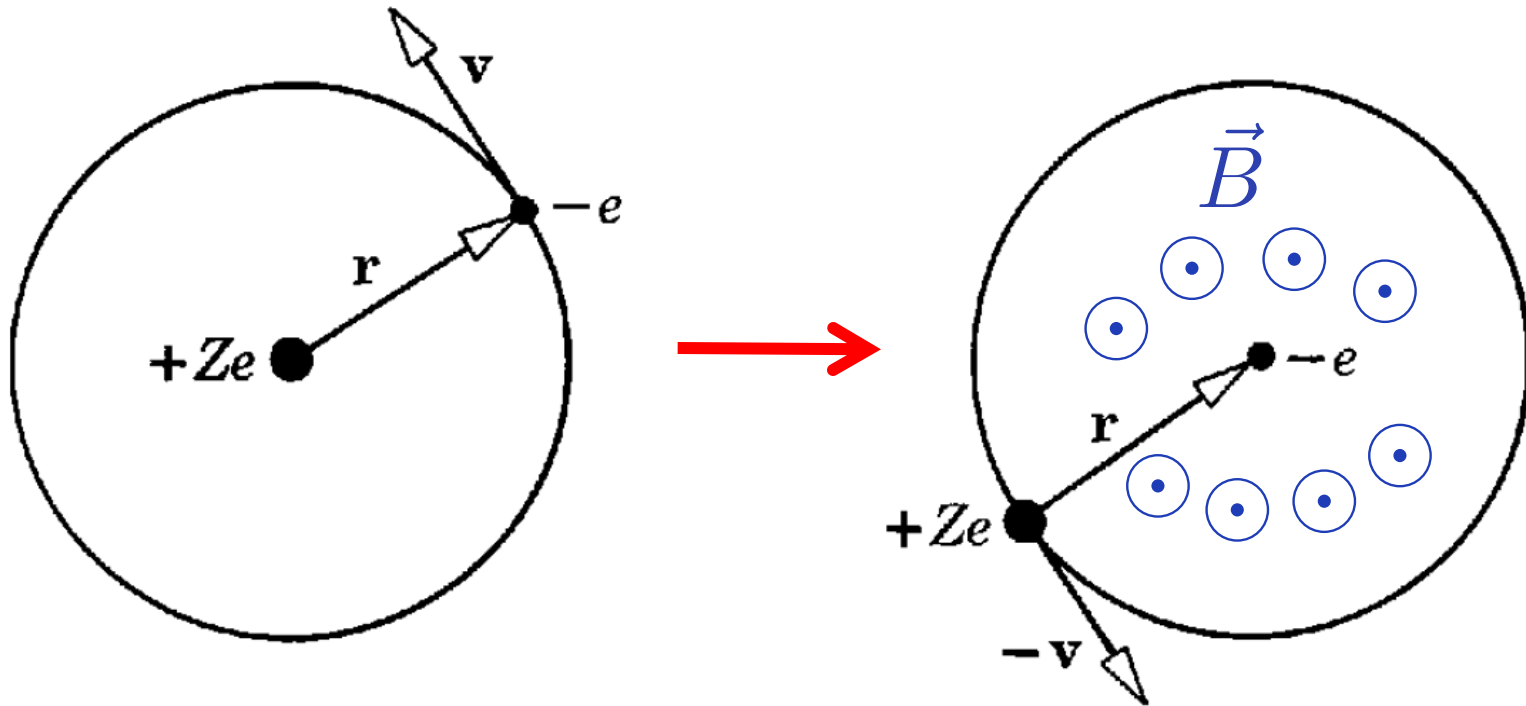
Campo magnético interno



$$L = m v r$$

Interação spin-órbita

Átomo tipo-hidrogênio



$$U = -\vec{\mu}_s \cdot \vec{B}$$

No referencial do elétron

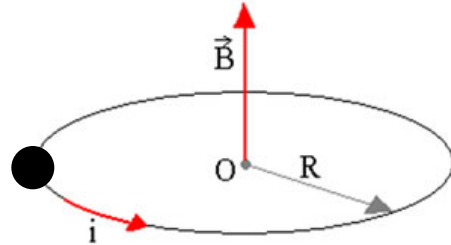
$$U\,=\,-\,\vec{\mu}_s\cdot\vec{B}$$

$$\vec{\mu}_s\,=\,-\,\frac{g_s\,\mu_b}{\hbar}\,\vec{S}$$

$$\mu_b\,=\,\frac{e\,\hbar}{2\,m}$$

$$\boxed{\vec{\mu}_s\,=\,-\,\frac{g_s\,e}{2\,m}\,\vec{S}}$$

$$U = -\vec{\mu}_s \cdot \vec{B}$$



$$\vec{B} = B \hat{k}$$

$$L = m v r$$

$$B = \frac{\mu_0 i}{2 r}$$



$$v = \frac{L}{m r}$$

$$i = \frac{e}{T} = \frac{e v}{2 \pi r}$$

$$B = \frac{\mu_0 e}{4 \pi m r^3} L$$

$$B = \frac{\mu_0 e v}{2 r 2 \pi r}$$

$$\vec{B} = \frac{\mu_0 e}{4 \pi m r^3} \vec{L}$$

$$U = -\vec{\mu}_s \cdot \vec{B}$$

$$\vec{\mu}_s = -\frac{g_s e}{2m} \vec{S}$$

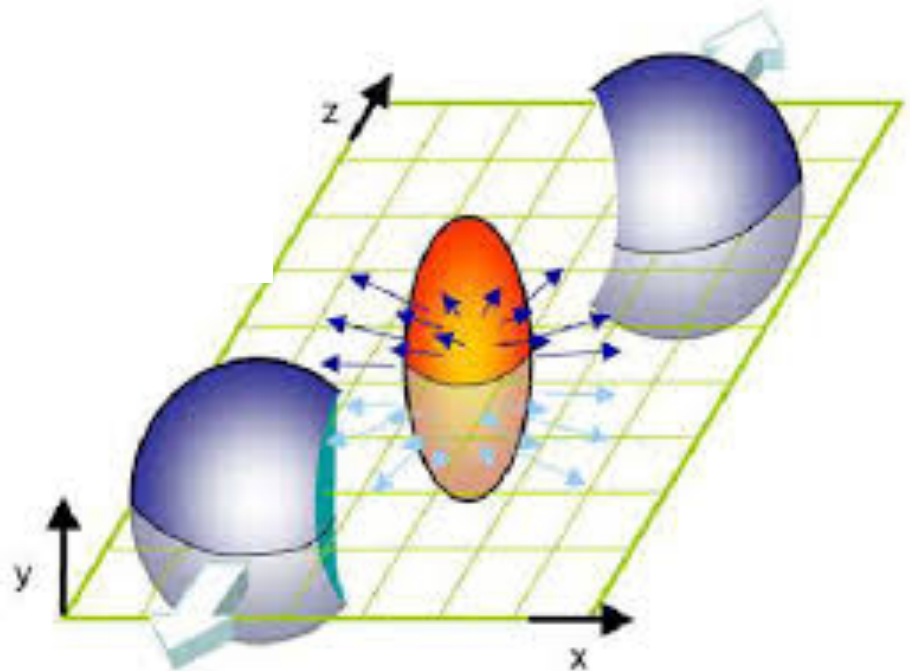
$$\vec{B} = \frac{\mu_0 e}{4\pi m r^3} \vec{L}$$

$$U = -\vec{\mu}_s \cdot \vec{B} = \frac{\mu_0 g_s e^2}{8\pi m^2 r^3} \vec{L} \cdot \vec{S}$$

Esta energia potencial também vai mudar os níveis de energia do átomo !

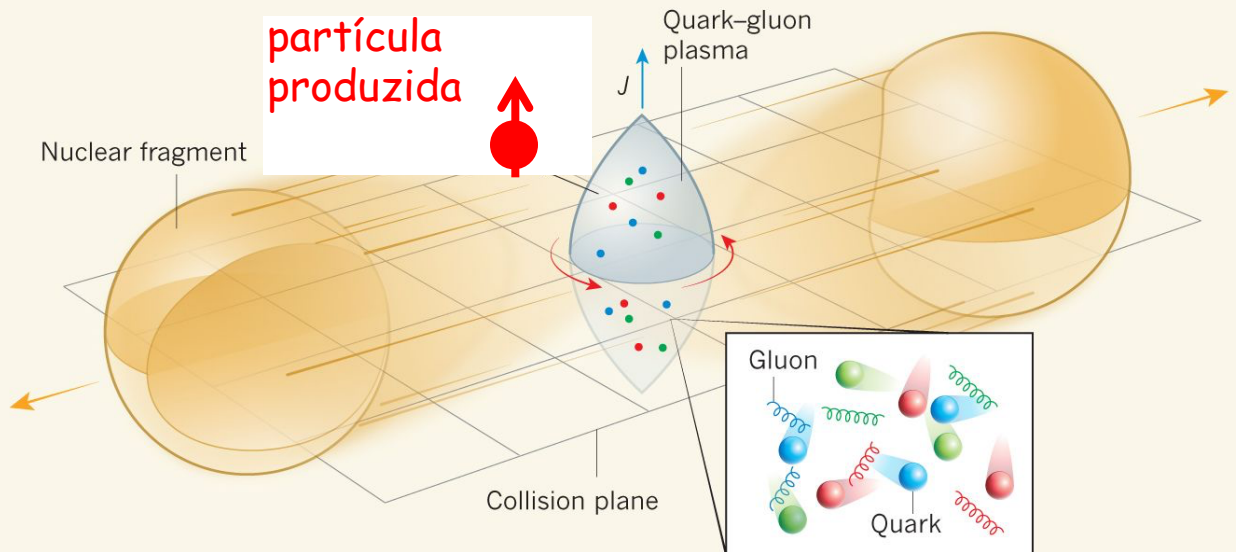
Correções de estrutura fina ! (ver exemplo 8.3)

Colisão de Ions Pesados Relativísticos no LHC

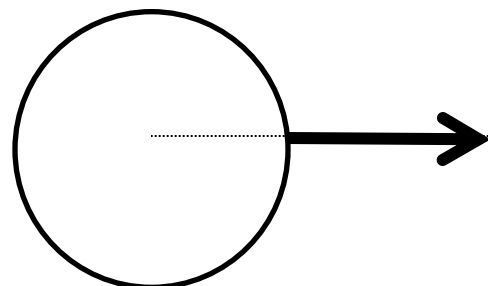


Spin alinhado ao
Momento Angular

Polarização !

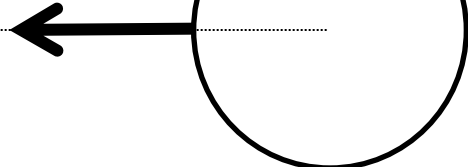


núcleo

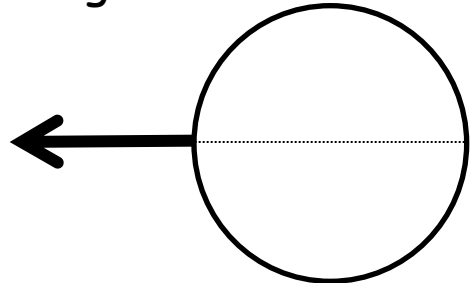


Parâmetro
de impacto

núcleo



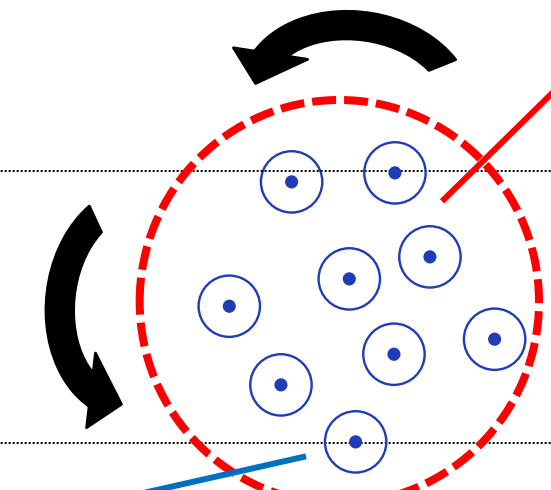
fragmento



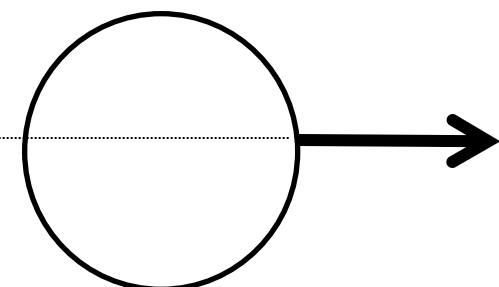
Líquido de quarks
e gluons rodando

Spins dos quarks
se alinham na direção de L

\vec{L}



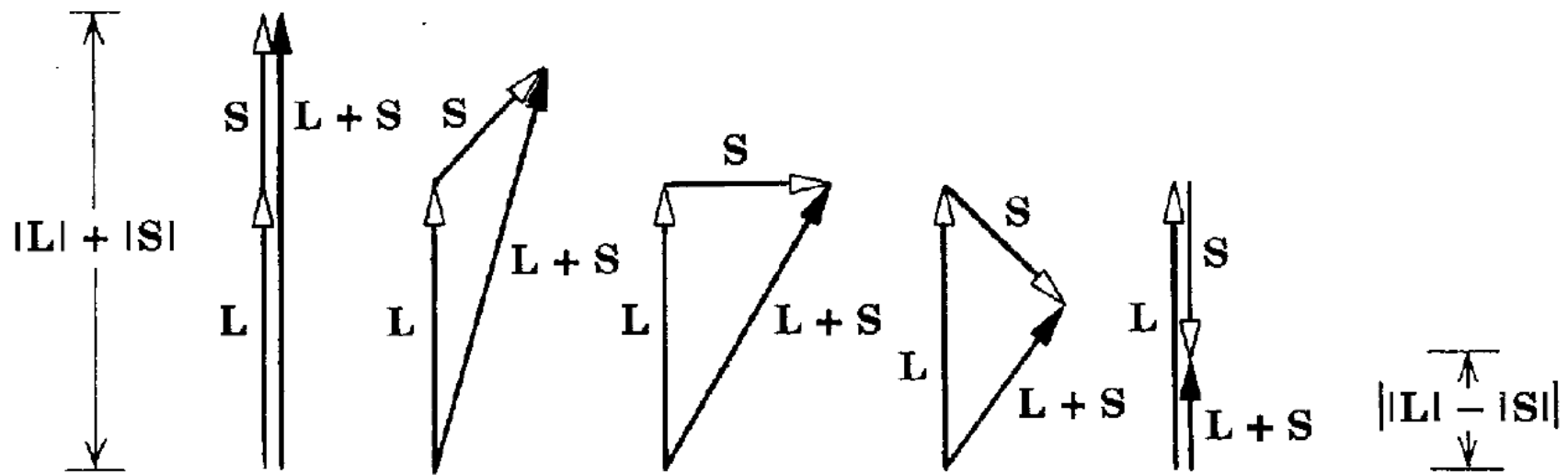
fragmento



Momento Angular Total

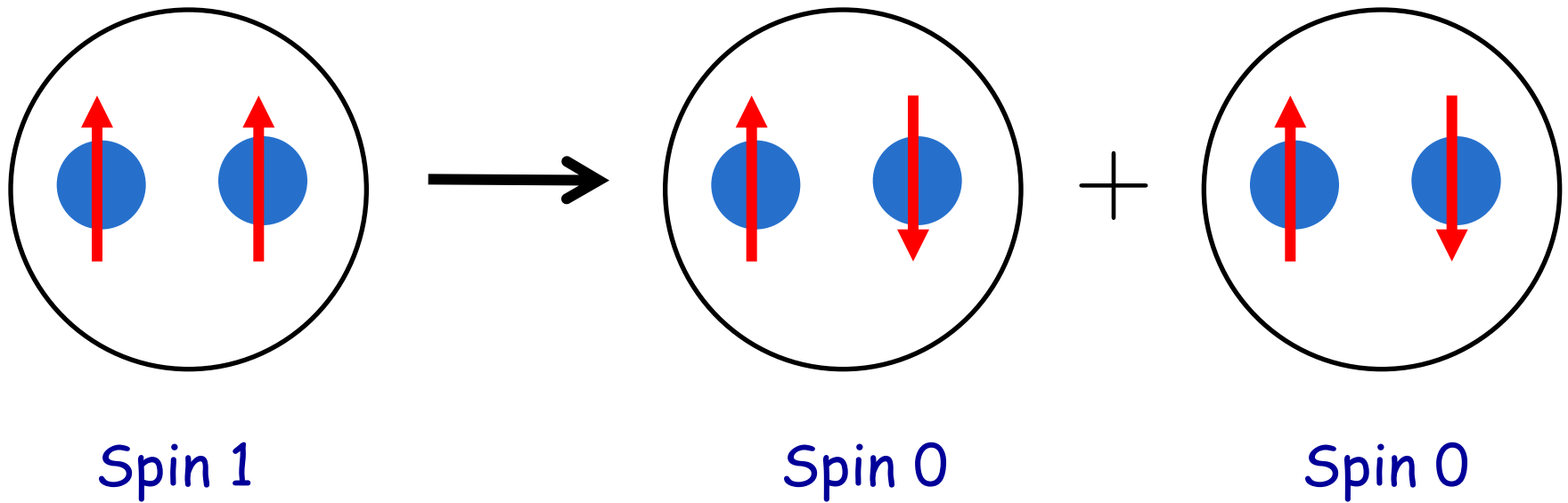
Momento angular orbital e intrínseco **se somam** : "rotação total"

$$\vec{J} = \vec{L} + \vec{S}$$



O spin é "parente" do momento angular orbital

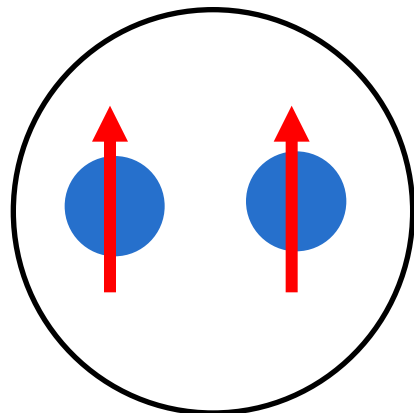
$$\rho \rightarrow \pi^+ + \pi^-$$

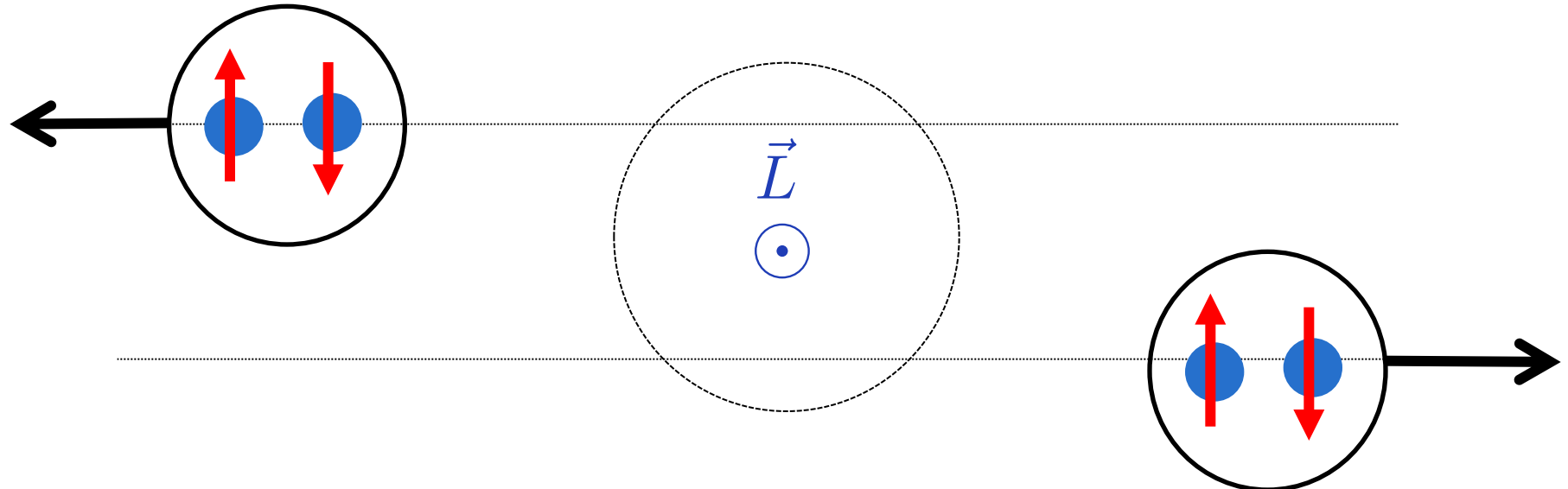


$$\left\{ \begin{array}{l} s = 1 \\ S = \sqrt{s(s+1)}\hbar = \sqrt{2}\hbar \\ S_z = m_s\hbar = \pm\hbar \end{array} \right. \quad s = 0 \quad s = 0$$

Spin não é conservado !

Antes : $I = 0$





Depois : $|l| = 1$

Momento angular orbital não é conservado !

Momento angular total é conservado !

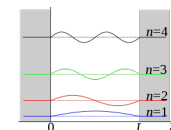
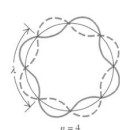
Mapa Lógico (resumão)

Dualidade onda-partícula



Princípio da incerteza

Confinamento gera quantização !



$$E = \frac{h^2 n^2}{8 m L^2}$$

$$L = n \hbar$$

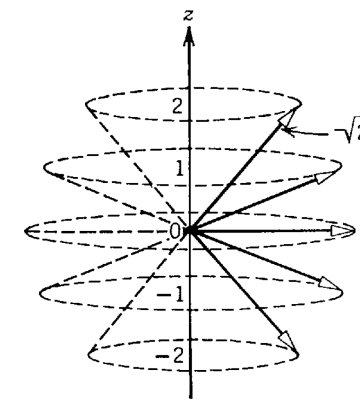
Schrödinger

o elétron não cai !

$$L_z = m_l \hbar$$

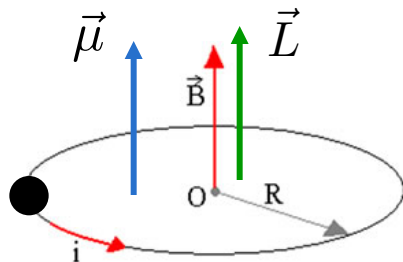
L e L_z nunca paralelos !

$$L^2 = l(l+1)\hbar^2$$

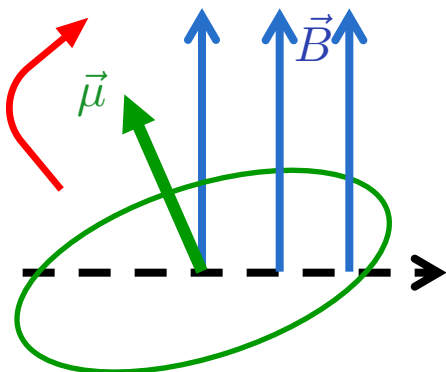


Magnetismo microscópico

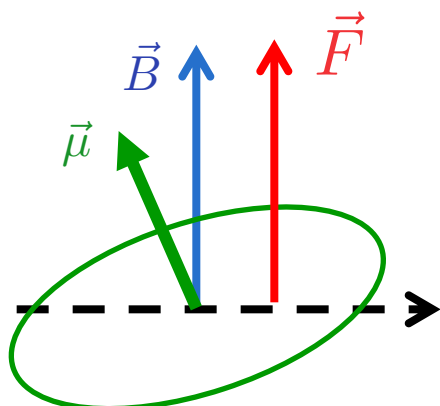
campo B gerado
pela corrente



campo B
externo



B externo
não uniforme



$$\vec{\mu} = \frac{g_l \mu_b}{\hbar} \vec{L}$$

momento de dipolo
magnético

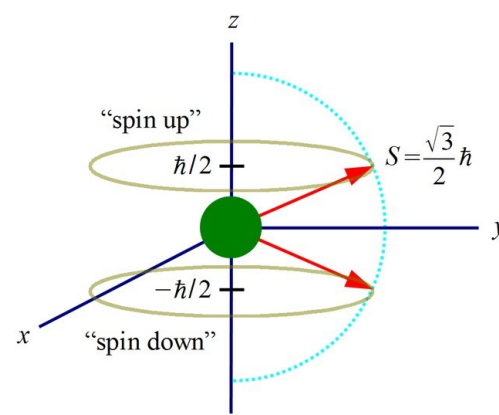
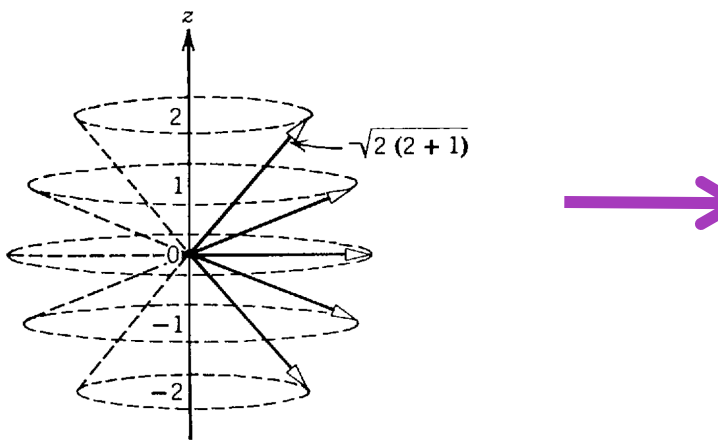
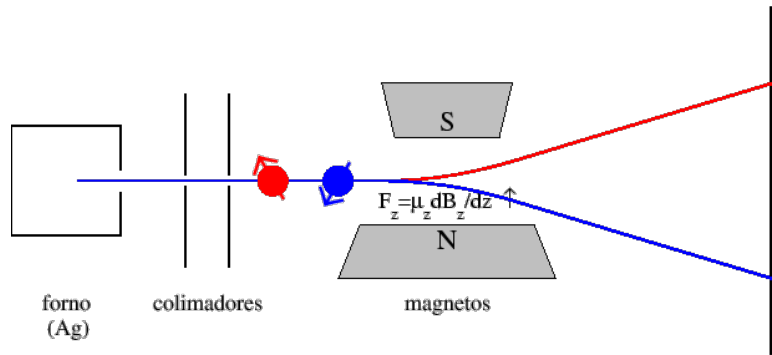
$$U = -\vec{\mu} \cdot \vec{B}$$

energia potencial
de orientação

$$F = \frac{g_l \mu_b L_z}{\hbar} \frac{\partial B_z}{\partial z} \quad \text{clássico}$$

$$F = g_l \mu_b m_l \frac{\partial B_z}{\partial z} \quad \text{quântico}$$

Stern - Gerlach e Phipps - Taylor



$$S = \sqrt{s(s+1)}\hbar$$

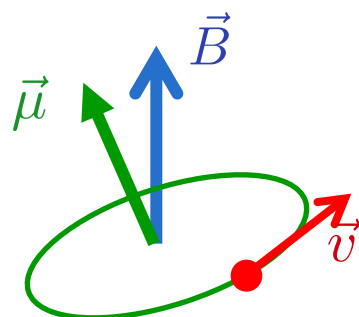
$$S_z = m_s \hbar$$

$$s = \frac{1}{2}$$

$$m_s = -\frac{1}{2}, +\frac{1}{2}$$

Campo magnético muda espectroscopia

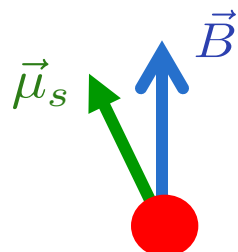
campo B
externo



$$U = -g_l \mu_b m_l B_z$$

Efeito Zeeman
Normal

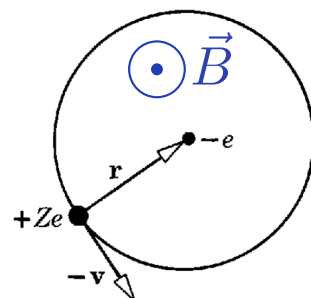
campo B
externo



$$U = -g_s \mu_b m_s B_z$$

Efeito Zeeman
Anômalo

campo B
interno



$$U = \frac{\mu_0 g_s e^2}{8\pi m^2 r^3} \vec{L} \cdot \vec{S}$$

Spin-Órbita
estrutura fina